



РУКОВОДЯЩИЙ ТЕХНИЧЕСКИЙ МАТЕРИАЛ

КРАНЫ ГРУЗОПОДЪЕМНЫЕ
РАСЧЕТ ВЕРОЯТНОСТИ
БЕЗОТКАЗНОЙ РАБОТЫ ЭЛЕМЕНТОВ

РТМ 24.090.25-76

Издание официальное

РАЗРАБОТАН И ВНЕСЕН Всесоюзным научно-исследовательским и проектно-конструкторским институтом подъемно-транспортного машиностроения, погрузочно-разгрузочного и складского оборудования и контейнеров (ВНИИПТ-маш)

Директор ВНИИПТмаш А. Х. Комашенко
Заведующий отделом стандартизации А. С. Оболенский
Руководитель темы И. О. Спицына
Руководитель и исполнитель В. И. Брауде (Ленинградский институт водного транспорта)
Исполнитель Е. Н. Андрианов (Ленинградский институт водного транспорта)

ПОДГОТОВЛЕН К УТВЕРЖДЕНИЮ Главным управлением подъемно-транспортного машиностроения

Главный инженер В. К. Пирогов

УТВЕРЖДЕН Министерством тяжелого и транспортного машиностроения

ВВЕДЕН В ДЕЙСТВИЕ Распоряжением Министерства тяжелого и транспортного машиностроения от 9 февраля 1976 г. № ГС-002/1086.

РУКОВОДЯЩИЙ ТЕХНИЧЕСКИЙ МАТЕРИАЛ

КРАНЫ ГРУЗОПОДЪЕМНЫЕ.
РАСЧЕТ ВЕРОЯТНОСТИ
БЕЗОТКАЗНОЙ РАБОТЫ ЭЛЕМЕНТОВ

РТМ 24.090.25-76

Вводится впервые

Распоряжением Министерства тяжелого и транспортного машиностроения от 9 февраля 1976 г. № ГС 002/1086 данный руководящий технический материал утвержден в качестве рекомендуемого.

Настоящий РТМ распространяется на механизмы и металлоконструкции кранов и содержит описание методов расчета вероятности безотказной работы отдельных элементов и их групп.

Вероятность безотказной работы определяется по условию непревышения нагрузкой (напряжением) опасного уровня и по условию сохранения циклической прочности. Расчет выполняется на основе полученных в результате натуральных тензометрических испытаний или статистического моделирования данных о представительных реализациях или статистических распределениях действующих нагрузок (напряжений), а также необходимых данных о законах распределения опасного уровня нагрузок (напряжений). Статистические характеристики действующих нагрузок (напряжений) могут быть определены аналитически.

Расчетная вероятность безотказной работы сопоставляется с нормативной. Время, в течение которого должна обеспечиваться вероятность безотказной работы, устанавливается на основе минимизации средней суммы приведенных годовых затрат или по данным эксплуатации лучших образцов кранов.

1. ОБЩИЕ ПОЛОЖЕНИЯ РАСЧЕТА

1.1. Эксплуатационные нагрузки (напряжения) и опасный уровень нагрузок (напряжений) элементов кранов представляют собой случайные процессы или случайные величины, поэтому показатели надежности элементов имеют вероятностный характер.

1.2. Элементы кранов в зависимости от степени ответственности делятся на две группы. К первой группе относятся элементы, отказ которых имеет аварийные последствия. В качестве их показателя надежности принимается вероятность безотказной работы $\rho(t)$ за расчетное время t_p . Остальные элементы образуют вторую группу. Их отказ приводит к экономическим потерям, и в качестве показателя надежности этих элементов принимается средний ресурс.

1.3. Для элементов первой группы должно выполняться условие:

$$\rho(t = t_p) \geq [\rho], \quad (1)$$

где t - текущее время;

$[\rho]$ - нормированное значение вероятности безотказной работы, которое устанавливается путем анализа надежности элементов лучших образцов кранов и сопоставления с нормированными показателями надежности элементов машин других типов.

При отсутствии этих данных рекомендуется принимать для кранов общего назначения:

$$[\rho] \geq 0,99. \quad (2)$$

1.4. Отказ системы, состоящей из последовательно соединенных элементов, происходит при отказе любого из них.

Вероятность безотказной работы системы, состоящей из k последовательно соединенных элементов определяется по формуле

$$\rho(t) = \prod_{j=1}^k \rho_j(t), \quad (3)$$

где $\rho_j(t)$ - вероятность безотказной работы элемента j .

Отказ системы, состоящей из параллельно соединенных элементов, происходит в случае отказа всех элементов. При параллельном соединении n элементов и неизменной вероятности безотказной работы оставшихся элементов (после отказа части из них), общая вероятность безотказной работы системы определяется по зависимости

$$\rho(t) = 1 - \prod_{j=1}^n [1 - \rho_j(t)], \quad (4)$$

где ρ_j - вероятность безотказной работы элемента j .

1.5. Вероятность безотказной работы j -того элемента, отказ которого может возникнуть из-за превышения нагрузкой (напряжением) опасного уровня или накопления усталостных повреждений определяется по формуле

$$\rho_j(t) = \rho_H(t) \rho_{Ц}(t), \quad (5)$$

где $\rho_H(t)$ – вероятность безотказной работы по условию непревышения нагрузкой (напряжением) опасного уровня;
 $\rho_{Ц}(t)$ – вероятность безотказной работы по условию сохранения циклической прочности.

1.6. Расчетное определение вероятности безотказной работы ограничивается областью

$$p(t) \leq 0,9999. \quad (6)$$

1.7. Расчет вероятности безотказной работы элементов и систем выполняется на стадии технического проектирования.

В случае отсутствия статистических данных по нагрузкам и напряжениям допускается расчетное определение вероятности безотказной работы по результатам натуральных испытаний опытных образцов кранов и их элементов.

2. РАСЧЕТ ВЕРОЯТНОСТИ БЕЗОТКАЗНОЙ РАБОТЫ ЭЛЕМЕНТОВ КРАНОВ $p(t)$ ПО УСЛОВИЮ НЕПРЕВЫШЕНИЯ ДЕЙСТВУЮЩЕЙ НАГРУЗКОЙ (НАПРЯЖЕНИЕМ) ОПАСНОГО УРОВНЯ

2.1. Отказ из-за превышения нагрузкой (напряжением) опасного уровня может возникнуть в связи с разрушением, недопустимо большой упругой или пластической деформацией элемента.

2.2. Для определения вероятности безотказной работы необходимы вероятностные характеристики процессов нагружения (изменения напряжений) и величины опасного уровня нагрузки (напряжения).

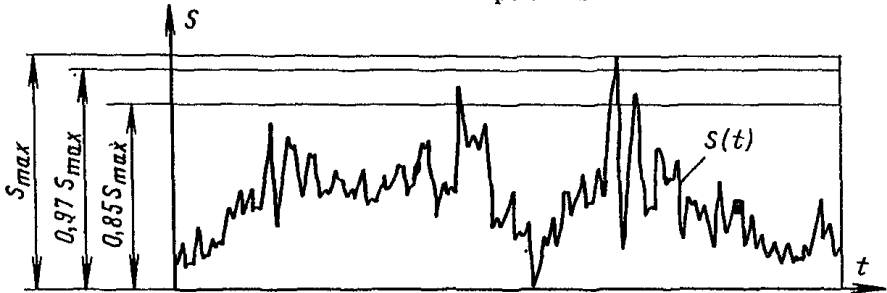
Возможны два расчетных случая:

А – действующая нагрузка (напряжение) – случайный процесс $S(t)$ (черт. 1); опасный уровень нагрузки (напряжения) – случайная величина S_0 (черт. 2);

Б – действующие нагрузки (напряжения) – совокупность независимых случайных величин S (черт. 3); опасный уровень нагрузки (напряжения) – случайная величина S_0 .

Действующая нагрузка - случайный процесс

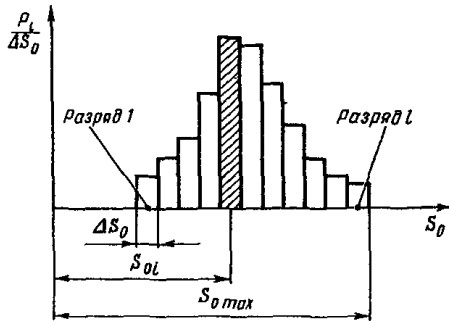
Реализация процесса



Черт. 1

Опасный уровень нагрузки - случайная величина

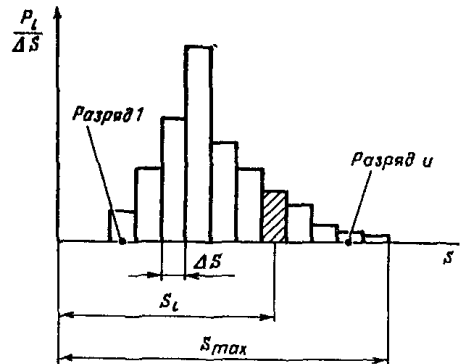
Гистограмма опасных нагрузок



Черт. 2

Действующие нагрузки - случайные величины

Гистограмма действующих нагрузок



Черт. 3

Случай А характерен для большинства элементов механизмов и металлоконструкций кранов, нагрузки и напряжения $|S(t)|$, в которых меняются в процессе работы непрерывно. Случайный характер изменения $S(t)$ предопределяется случайностью таких факторов, как уровень и частота динамических нагрузок, скорость и направление ветра, значения коэффициентов трения и т.п.

Случай Б имеет место тогда, когда нагрузки могут рассматриваться как совокупность независимых случайных величин. Например, нагрузки от сил тяжести поднимаемых грузов случайной массы, пиковые, независимые друг от друга нагрузки, возникающие при соударениях в зазорах или в результате наложения упругих колебаний и т.п.

2.3. Расчет вероятности безотказной работы в случае А, при условии, что действующая нагрузка является стационарным случайным процессом с распределением ординат по усеченному нормальному закону, а опасный уровень – случайная величина, также распределенная по усеченному нормальному закону, выполняется по формуле

$$P_H(t) = 1 - \frac{C_0 C_S t_D \bar{n}}{\sqrt{C_S^2 + C_0^2}} \exp\left[-\frac{(\langle S_0 \rangle - \langle S \rangle)^2}{2(C_S^2 + C_0^2)}\right], \quad (7)$$

где \bar{n} – среднее число пересечений в единицу времени уровня процессом $S(t)$;

t_D – расчетное время работы элемента;

$$C_0 = C_1 \cdot C_2, \quad (8)$$

$$C_1 = \frac{1}{\frac{1}{2} \left[\Phi\left(\frac{S_{max} - \langle S \rangle}{C_S \sqrt{2}}\right) - \Phi\left(\frac{S_{min} - \langle S \rangle}{C_S \sqrt{2}}\right) \right]}, \quad (9)$$

$$C_2 = \frac{1}{\frac{1}{2} \left[\Phi\left(\frac{S_{0max} - \langle S_0 \rangle}{C_0 \sqrt{2}}\right) - \Phi\left(\frac{S_{0min} - \langle S_0 \rangle}{C_0 \sqrt{2}}\right) \right]}, \quad (10)$$

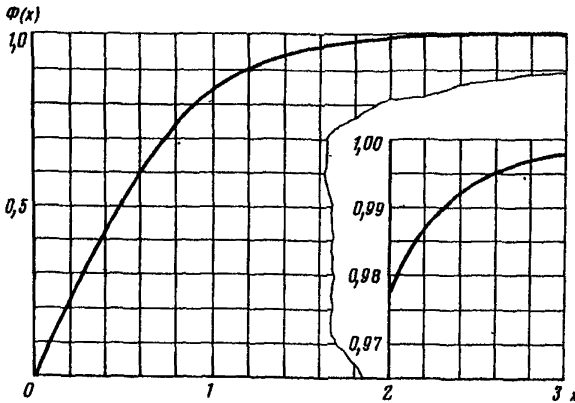
где Φ – табулированная функция Лапласа (см. таблицу и черт. 4);

S_{max}, S_{min} – максимальное и минимальное значения нагрузки (напряжения);

S_{0max}, S_{0min} – максимальное и минимальное значения опасного уровня нагрузки (напряжения);

C_S, C_0 – средние квадратические отклонения нагрузки (напряжения) и ее опасного уровня;

График функции Лапласа



Черт. 4

$\langle S \rangle, \langle S_0 \rangle$ – математические ожидания нагрузки (напряжения) и ее опасного уровня.

Если нормальные распределения имеют неусеченный характер, то $C_0 = 1$.

В том случае, когда $S_{max} \geq \langle S \rangle + 2\sigma_S$ и $S_{min} \leq \langle S \rangle - 2\sigma_S$, можно полагать $C_1 = 1$. Если $S_{0max} \geq \langle S_0 \rangle + 2\sigma_0$ и $S_{0min} \leq \langle S_0 \rangle - 2\sigma_0$, то можно полагать $C_2 = 1$.

Пример расчета приведен в приложении справочном.

2.4. При условиях, оговоренных в пункте 2.3. нормированная вероятность безотказной работы в течение расчетного времени t_p будет обеспечена, если

$$S_{max} \leq \frac{S_{0min}}{n_1}, \quad (11)$$

где S_{max} – максимальное расчетное напряжение, кгс/см²,

$$S_{max} = \langle S \rangle (1 + \kappa \psi); \quad (12)$$

S_{0min} – минимальное расчетное опасное напряжение, кгс/см²,

$$S_{0min} = \langle S_0 \rangle (1 - \lambda \nu); \quad (13)$$

Значения функции Лапласа $\Phi(x) = \frac{2}{\sqrt{\pi}} \int_0^x e^{-t^2} dt$

x	$\Phi(x)$	x	$\Phi(x)$
1,00	0,8427	1,95	0,9942
1,05	0,8624	2,00	0,9953
1,10	0,8802	2,05	0,9963
1,15	0,8961	2,10	0,9970
1,20	0,9103	2,15	0,9976
1,25	0,9229	2,20	0,9981
1,30	0,9340	2,25	0,9985
1,35	0,9438	2,30	0,9988
1,40	0,9523	2,35	0,9991
1,45	0,9597	2,40	0,9993
1,50	0,9661	2,45	0,9995
1,55	0,9716	2,50	0,9996
1,60	0,9766	2,55	0,9997
1,65	0,9804	2,60	0,9998
1,70	0,9838	2,65	0,9998
1,75	0,9867	2,70	0,9999
1,80	0,9891	2,75	0,9999
1,85	0,9911	2,80	0,9999
1,90	0,9928	3,00	1,0000

n_1 - коэффициент запаса прочности;

$$n_1 = \frac{(1-l\nu)(\varphi + \psi \gamma \sqrt{\varphi^2 + 1})}{\varphi(1 + \kappa \psi)} \quad (14)$$

В этих зависимостях обозначены: $\varphi = \frac{\sigma_s}{\sigma_0}$;

$\psi = \frac{\sigma_s}{\langle S \rangle}$ - коэффициент вариации напряжений $S(t)$;
 κ - количество средних квадратических отклонений между средним $\langle S \rangle$ и максимальным расчетным напряжением S_{max} ;

$\nu = \frac{\sigma_0}{\langle S_0 \rangle}$ - коэффициент вариации опасного напряжения S_0 ;

l - количество средних квадратических отклонений между средним $\langle S_0 \rangle$ и минимальным опасным напряжением S_{min} ;

γ - характеристика безопасности

$$\gamma = \sqrt{-2 \ln \left(-\frac{\ln[\rho] \sqrt{1 + \varphi^2}}{\varphi \bar{n} t_p} \right)} \quad (15)$$

Пример расчета приведен в приложении.

2.5. Выбор геометрической характеристики F (площадь, момент сопротивления и т.п.) сечения элемента, при условиях, оговоренных в пункте 2.3, выполняется по формуле.

$$F = \frac{S_{H,max} \cdot n_1}{S_{0,min}} , \quad (16)$$

где $S_{H,max}$ - расчетное значение максимальной нагрузки, кгс.

$$S_{H,max} = \langle S_H \rangle (1 + \kappa_H \psi_H) ; \quad (17)$$

$\langle S_H \rangle$ - среднее значение нагрузки, кгс;

$\psi_H = \frac{\sigma_{SH}}{\langle S_H \rangle}$ - коэффициент вариации нагрузки;

κ_H - количество средних квадратических отклонений между средней $\langle S_H \rangle$ и расчетной максимальной $S_{H,max}$ нагрузкой.

Минимальное расчетное опасное напряжение $S_{0,min}$ вычисляется по формуле (13), а коэффициент запаса прочности n_1 по формуле (14), в которой все значения $\langle S \rangle$ и σ_S заменяются соответственно на $\langle S_H \rangle$ и σ_{SH} .

Пример расчета приведен в приложении.

2.6. Расчет вероятности безотказной работы в случае А при условии, что имеется представительная реализация $S(t)$ действующих нагрузок (напряжений) и гистограмма (см. черт. 1, 2) их опасного уровня, осуществляется по формуле

$$P_H(t) = 1 - n^* t_p , \quad (18)$$

где $n^* = \sum_{i=1}^l \rho_i n_i$ - среднее число выбросов за опасный уровень в единицу времени;

ρ_i - частота попадания случайного значения опасного уровня в i -тый разряд гистограммы;

l - общее количество разрядов в гистограмме S_D ;

t_p - расчетное время работы элемента;

n_i - среднее число выбросов в единицу времени за опасный уровень i ;

$$n_i = n_H \exp \{ -\gamma [(R_{Di} - 1)^2 - (R_H - 1)^2] \} , \quad (19)$$

где

Π_H - среднее число выбросов в единицу времени
за относительный уровень $R_H = \frac{0,85 S_{max}}{\langle S \rangle}$;

S_{max} - максимальная нагрузка в реализации;
 $\langle S \rangle$ - среднее значение нагрузок в реализации
(при определении $\langle S \rangle$ нулевые участки не
учитываются, нагрузки берутся по моду-
лю);

$R_{oi} = \frac{S_{oi}}{\langle S \rangle}$ - относительный уровень, соответствующий
среднему значению i -того разряда опас-
ного уровня S_{oi} ;

$$\gamma = \frac{\ln \Pi_H - \ln \Pi_K}{[(R_K - 1)^2 - (R_H - 1)^2]}; \quad (20)$$

Π_K - среднее число выбросов в единицу времени за относи-
тельный уровень $R_K = \frac{0,97 S_{max}}{\langle S \rangle}$

Пример расчета приведен в приложении.

2.7. Расчет вероятности безотказной работы $\rho_H(t)$ в случае
Б при условии, что действующие нагрузки (напряжения) и их
опасные уровни распределяются по усеченным нормальным зако-
нам, выполняется по формуле

$$\rho_H(t) = \left\{ \frac{C'_0}{2} \varphi \left[\frac{(S_{o,max} - S_{min}) - (\langle S_0 \rangle - \langle S \rangle)}{\sqrt{2} \sqrt{\sigma_0^2 + \sigma_s^2}} \right] + \frac{C'_0}{2} \varphi \left[\frac{\langle S_0 \rangle - \langle S \rangle}{\sqrt{2} \sqrt{\sigma_0^2 + \sigma_s^2}} \right] \right\}^{nt_p} \quad (21)$$

где Π - количество нагружений в единицу времени;

t_p - расчетное время работы элемента

$$C'_0 = \frac{1}{\frac{1}{2} \left\{ \varphi \left[\frac{(S_{o,max} - S_{min}) - (\langle S_0 \rangle - \langle S \rangle)}{\sqrt{2} \sqrt{\sigma_0^2 + \sigma_s^2}} \right] - \varphi \left[\frac{(S_{o,min} - S_{max}) - (\langle S_0 \rangle - \langle S \rangle)}{\sqrt{2} \sqrt{\sigma_0^2 + \sigma_s^2}} \right] \right\}} \quad (22)$$

Формулу (21) рекомендуется использовать для инженерных
расчетов, основанных на использовании обычных таблиц функции
 $\Phi(x)$ - в том случае, когда общее количество нагружений за
время работы - nt_p находится в пределах от 1 до 200. При
больших nt_p предпочтительно использовать представление о
нагрузке, как случайном процессе.

Пример расчета приведен в приложении.

2.8. При условиях, оговоренных в пунктах 2.7., и когда $C'_0 \approx 1,0$, нормированная вероятность безотказной работы в течение времени t_p будет обеспечена, если выполняется неравенство (11).

В формуле запаса прочности (14) характеристика безопасности γ заменяется величиной

$$\gamma_1 = \lambda \sqrt{2}, \quad (23)$$

где λ определяется с помощью таблицы или черт. 4 по расчетному значению

$$\Phi(\lambda) = 2 \sqrt[nt_p]{\Gamma \rho T} - 1. \quad (24)$$

Пример расчета приведен в приложении.

2.9. Выбор геометрической характеристики F (площадь, момент сопротивления и т.п.) сечения элемента, при условиях, оговоренных в пункте 2.7., и когда $C'_0 \approx 1$, выполняется по формуле (16).

При вычислении запаса прочности γ заменяется на γ_1 в соответствии с пунктом 2.8.

Пример расчета приведен в приложении.

3. РАСЧЕТ ВЕРОЯТНОСТИ БЕЗОТКАЗНОЙ РАБОТЫ ЭЛЕМЕНТОВ КРАНОВ $p_{11}(t)$ ПО УСЛОВИЮ СОХРАНЕНИЯ ЦИКЛИЧЕСКОЙ ПРОЧНОСТИ

3.1. Отказ из-за потери циклической прочности возникает в связи с накоплением усталостных повреждений и образованием макроскопической трещины в элементе.

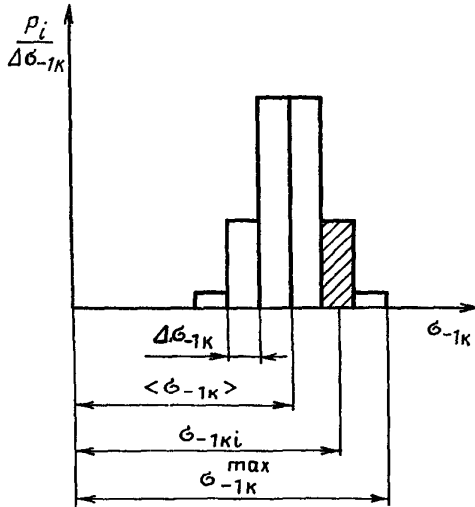
3.2. Для определения вероятности безотказной работы требуются вероятностные характеристики амплитуд действующих напряжений, приведенных к симметричному циклу, и неограниченного предела выносливости элемента.

3.3. Расчет вероятности безотказной работы в случае усеченного нормального закона распределения неограниченного предела

выносливости σ_{-1K} выполняется по формуле

$$p_{11}(t) = \frac{C_3}{2} \left[\Phi \left(\frac{\sigma_{max} - \langle \sigma_{-1K} \rangle}{\sqrt{2} \sigma_{\sigma_{-1K}}} \right) - \Phi \left(\frac{\sigma_{-1K}^* - \langle \sigma_{-1K} \rangle}{\sqrt{2} \sigma_{\sigma_{-1K}}} \right) \right], \quad (25)$$

Предел выносливости—случайная величина.
Гистограмма пределов выносливости



Черт. 5

где $\langle \sigma_{-1K} \rangle, \sigma_{-1Kl}, \sigma_{-1K}^{max}$ кгс/см² — математическое ожидание, среднее квадратическое отклонение и максимальное значение неограниченного предела выносливости элемента (черт. 5);

C_3 — определяется по формуле, аналогичной (10) при условии замены характеристик величины S_0 характеристиками величины σ_{-1K} ;

σ_{-1K}^* — пороговое значение неограниченного предела выносливости, кгс/см² (см. следующие пункты);

Φ — табулированная функция Лапласа (см. черт. 4, таблицу).

3.4. Пороговое значение неограниченного предела выносливости σ_{-1K}^* , при известной гистограмме действующих напряжений (аналогичной приведенной на черт. 3 при условии замены S на $\sigma_{пр}$), приведенных к симметричному циклу определяется по формуле

$$\sigma_{-1к}^* = \frac{1}{\sqrt{a}} \sqrt{\frac{m}{N_0} \frac{N}{\sigma_{-1к}^*} \frac{\sigma_{пр}^{max}}{\sigma_{пр.i}^m} \rho_i} \quad \text{кгс/см}^2, \quad (26)$$

где N_0 – базовое число циклов;
 m – показатель кривой усталостной прочности;
 N – количество циклов изменения напряжений за расчетный срок службы элемента;

$$\alpha = \frac{\left(\sum_{0,5\sigma_{-1к}^*}^{\sigma_{пр}^{max}} \sigma_{пр.i} \rho_i \right) : \left(\sum_{0,5\sigma_{-1к}^*}^{\sigma_{пр}^{max}} \rho_i \right) - 0,5\sigma_{-1к}^*}{\sigma_{пр}^{max} - 0,5\sigma_{-1к}^*}, \quad (27)$$

сумма относительных повреждений, которая при $\alpha < 0,2$ принимается равной 0,2; если все амплитуды $\sigma_{пр.i}$ превышают значение $\sigma_{-1к}^*$ и нет значительных кратковременных перегрузок ($\sigma_{пр, max} \leq (1,5-2) \sigma_{-1к}^*$), то следует принимать $\alpha = 1$.
 $\sigma_{пр.i}, \rho_i$ – напряжение, кгс/см² (середина разряда) и частность i -того разряда гистограммы приведенных напряжений (см. черт. 3).

Если $\sigma_{-1к}^* \leq \sigma_{-1к}^{min}$, то $p_{ц}(t) = 1$, если $\sigma_{-1к}^* > \sigma_{-1к}^{max}$, то $p_{ц}(t) = 0$.

Распределение приведенных напряжений $\sigma_{пр}$ может быть заменено распределением амплитуд – σ_a кгс/см². В этом случае $\sigma_{-1к}^*$ определяется по формуле

$$\sigma_{-1к} \approx \sqrt{a} \sqrt{\frac{m}{N_0} \frac{N}{\sigma_{-1к}^*} \frac{\sigma_{пр}^{max}}{\sigma_a^m} \rho_i} \quad \text{кгс/см}^2, \quad (28)$$

где $A = \frac{(1 - \frac{n}{K}) - (r)(1 + \frac{n}{K})}{(1 - \langle r \rangle)}$; (29)

n – коэффициент чувствительности к асимметрии цикла;
 K – эффективный коэффициент концентрации;
 $\langle r \rangle$ – средний коэффициент асимметрии.

Уравнения (26), (28) решаются графически или методом последовательных приближений, однако, при выполнении расчетов с

точностью до 10% можно полагать в правых частях формул (26), (27), (28)

$$\sigma_{-1K}^* \approx \langle \sigma_{-1K} \rangle .$$

При этом сопоставляются значения σ_{-1K}^* , вычисленные по формуле (26) и принятые в первом приближении по формуле (28), в результате чего принимается решение о необходимости уточненного вычисления порогового значения неограниченного предела выносливости.

Пример расчета приведен в приложении.

3.5. Расчет порогового значения неограниченного предела выносливости σ_{-1K}^* в том случае, когда распределение амплитуд представлено в виде суммы n нормальных усеченных законов выполняется по формуле

$$\sigma_{-1K}^* = \langle \sigma_{-1K} \rangle \frac{A}{\sqrt{\alpha}} \cdot \sqrt{\frac{N}{N_0}} \sqrt{\prod_{j=1}^n \kappa_j \rho_j q_j^m} , \quad (30)$$

$$\text{где } \alpha = \frac{\left(\sum_{j=1}^n \rho_j \theta_j \right) : \left(\sum_{j=1}^n \rho_j c_j \right) - 0,5}{\chi_j^{m\alpha} - 0,5} ; \quad (31)$$

или при условиях, оговоренных в пункте 3.4, принимается $\alpha = 1$;

ρ_j - вероятность появления усеченного нормального закона j в общем суммарном распределении амплитуд;

q_j - находится по черт. 6 в зависимости от $\langle \chi_j \rangle$ и $\chi_{\sigma j}$;

$\langle \chi_j \rangle$ - относительное значение математического ожидания распределения амплитуд j -того закона;

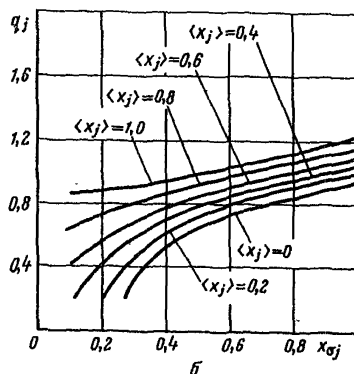
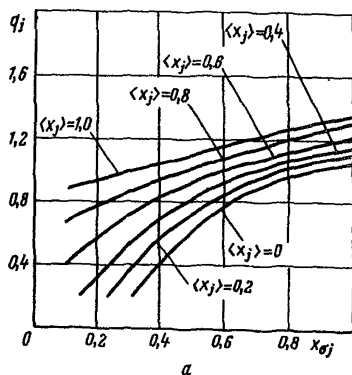
$\chi_{\sigma j}$ - относительное значение среднего квадратического отклонения j -того закона.

$$\langle \chi_j \rangle = \frac{\langle \sigma_j \rangle}{\langle \sigma_{-1K} \rangle} ; \quad \chi_{\sigma j} = \frac{\sigma_{\sigma j}}{\langle \sigma_{-1K} \rangle} ;$$

$\langle \sigma_j \rangle$ - математическое ожидание j -того закона распределения амплитуд;

$\sigma_{\sigma j}$ - среднее квадратическое отклонение j -того закона распределения амплитуд.

Значение коэффициента q_j в зависимости от $\langle x_j \rangle$ и $x_{\sigma j}$.



а - при $m=6$; б - при $m=9$

Черт. 6

$$x_{j \max} = \frac{\langle \sigma_j \rangle + 4 \sigma_j^*}{\langle \sigma - 1 \kappa \rangle} ; \quad (32)$$

$$x_{j \min} = \frac{\langle \sigma_j \rangle - 4 \sigma_j^*}{\langle \sigma - 1 \kappa \rangle} ; \quad (33)$$

$$\kappa_j = \frac{1}{\frac{1}{2} \left[\varphi \left(\frac{x_{j \max} - \langle x_j \rangle}{x_{\sigma j} \sqrt{2}} \right) - \varphi \left(\frac{x_{j \min} - \langle x_j \rangle}{x_{\sigma j} \sqrt{2}} \right) \right]} ; \quad (34)$$

$$\sigma_j = \kappa_j \{ x_{\sigma i} [f_{1j} - f_{2j}] - \langle x_j \rangle [f_{3j} - f_{4j}] \} ; \quad (35)$$

$$c_j = \kappa_j (f_{3j} - f_{4j}) ; \quad (36)$$

$f_{1,2,3,4j}$ - определяются по графикам (черт. 7) в зависимости от h_j^{max} и h_j

$$h_j^{max} = \frac{\chi_j^{max} - \langle \chi_j \rangle}{\chi_{6j}} ; \quad (37)$$

$$h_j = \frac{0,5 - \langle \chi_j \rangle}{\chi_{6j}} ; \quad (38)$$

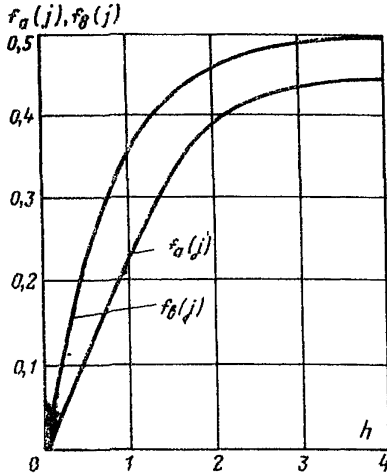
$$f_{1j} = f_a(h_j^{max}); f_{2j} = f_a(h_j); f_{3j} = f_b(h_j^{max}); f_{4j} = f_b(h_j).$$

Пример расчета приведен в приложении.

3.6. При условиях, оговоренных в пункте 3.3., нормированная вероятность безотказной работы $[p]$ за период, соответствующий N нагружениям, будет обеспечена, если

$$\sigma_{-1K}^* \leq \frac{\langle \sigma_{-1K} \rangle}{n_2} \quad \text{кгс/см}^2, \quad (39)$$

Расчетные коэффициенты



Черт. 7

где σ_{-1k}^* определяется в соответствии с пунктами 3.4. или 3.5.

Коэффициент запаса циклической прочности

$$n_2 = \frac{1}{1 - \sqrt{2} \chi \rho}, \quad (40)$$

где χ определяется с помощью таблицы или черт. 4 по расчетному значению

$$\varphi(\chi) = \frac{2}{C_3} [\rho] - 0,9972; \quad (41)$$

$\rho = \frac{\sigma_{\sigma k}}{\langle \sigma_{-1k} \rangle}$ - коэффициент вариации предела выносливости элемента в расчетном сечении.

Пример расчета приведен в приложении.

3.7. Выбор геометрической характеристики F (площадь, момент сопротивления и т.п.) сечения элемента, при условиях, оговоренных в пункте 3.3, выполняется по формуле

$$F \geq \frac{S_{пр}^* \cdot n_2}{\langle \sigma_{-1k} \rangle}, \quad (42)$$

где пороговое значение нагрузки $S_{пр}^*$ определяется по формулам (26), или (28), или (30), при условии замены σ на $S_{пр}$. Коэффициент запаса циклической прочности находится по формуле (40).

Пример расчета приведен в приложении.

4. ОПРЕДЕЛЕНИЕ ИСХОДНЫХ ДАННЫХ ДЛЯ РАСЧЕТА ВЕРОЯТНОСТИ БЕЗОТКАЗНОЙ РАБОТЫ ЭЛЕМЕНТОВ КРАНА

4.1. Экспериментальные значения статистических характеристик действующих нагрузок (напряжений), $\langle S \rangle$, σ_S , \bar{n} , S_{max} , S_{min} , n_k , n_k и распределения приведенных напряжений определяются по результатам испытаний кранов аналогичной конструкции или опытного образца проектируемой машины. Обработка статистической информации о нагруженности элементов должна проводиться в соответствии с РТМ 24.090.07-75.

4.2. Все характеристики действующих нагрузок (напряжений) могут быть определены на стадии проектирования с помощью ЭВМ методом статистического моделирования.

4.3. Аналитическое определение $\langle S \rangle$, σ_S , n и характе-

ристик распределений приведенных напряжений выполняется в процессе проектирования методами статистической динамики машин циклического действия.

4.4. Характеристики опасного уровня нагрузок (напряжений) $\langle S_0 \rangle$, σ_0 и циклической прочности элементов $\langle \sigma_{-1} \rangle$, $\langle \tau_{-1} \rangle$, ρ , m , N_0 , $k_\sigma(d)$, $k_\tau(d)$ определяются на основе испытаний образцов материала (деталей) и содержатся в справочной литературе.

4.5. Расчетное время t_p задается на основе обобщения опыта эксплуатации лучших образцов кранов. Возможно определение t_p , исходя из минимизации годовых приведенных эксплуатационных и капитальных затрат.

ПРИМЕРЫ РАСЧЕТА

Пример 1. Расчет вероятности безотказной работы оси механизма подъема по условию непревышения нагрузкой опасного уровня (случай А п.2.3.).

Исходные данные:

$d = 15,0$ см - диаметр оси в опасном сечении;

$W_{и} = 335$ см³ - момент сопротивления сечения;

материал - сталь 34ХНЗМ (НВ = 270);

$\langle \sigma_T \rangle = 6,7 \cdot 10^3$ кгс/см² - математическое ожидание предела текучести;

$\langle S_o \rangle = \langle \sigma_T \rangle W_{и} = 6,7 \cdot 10^3 \cdot 335 = 22,5 \cdot 10^5$ кгс·см - математическое ожидание опасного уровня нагружения;

$\nu = 0,06$ - коэффициент вариации опасного уровня нагружения материала;

$\sigma_o = \nu \langle S_o \rangle = 0,06 \cdot 22,5 = 1,3 \cdot 10^5$ кгс·см - среднее квадратическое отклонение опасного уровня;

$S_{max} = 9 \cdot 10^5$ кгс·см; $S_{min} = 0$; $\langle S \rangle = 3 \cdot 10^5$ кгс·см; $\sigma_s = 2,2 \cdot 10^5$ кгс·см; $\bar{n} = 11$ 1/с - характеристики процесса нагружения в опасном сечении вала;

$t_p = 2 \cdot 10^8$ с - расчетное время работы вала за 20-летний период эксплуатации крана;

$$C_1 = \frac{1}{2 \left[\Phi \left(\frac{9 \cdot 10^5 - 3 \cdot 10^5}{\sqrt{2} \cdot 2,2 \cdot 10^5} \right) - \Phi \left(\frac{0 - 3 \cdot 10^5}{\sqrt{2} \cdot 2,2 \cdot 10^5} \right) \right]} = 1,097;$$

$$C_2 \approx 1;$$

$$C_0^2 = C_1 \cdot C_2 = 1,097.$$

Решение:

Исходные данные подставляются в формулу (7) для определения значения $p_H(t)$ - вероятности безотказной работы по условию непревышения нагрузкой опасного уровня*

$$p_H(t) = 1 - \frac{C_0 \sigma_s t_p \bar{n}}{\sqrt{\sigma_o^2 + \sigma_s^2}} \exp \left[- \frac{(\langle S_o \rangle - \langle S \rangle)^2}{2(\sigma_o^2 + \sigma_s^2)} \right] =$$

* Здесь и далее вероятность неразрушения определяется с точностью до четырех знаков.

$$= 1 - \frac{1,097 \cdot 2,2 \cdot 10^5 \cdot 2 \cdot 10^8 \cdot 11}{\sqrt{2,2^2 + 1,32^2 \cdot 10^5}} \exp \left\{ - \frac{(22,5 \cdot 10^5 - 3 \cdot 10^5)^2}{2[(2,2 \cdot 10^5)^2 + (1,3 \cdot 10^5)^2]} \right\} =$$

$$= 1 - 2,04 \cdot 10^9 \exp(-29) = 1 - 5,08 \cdot 10^{-4} \approx 0,9995.$$

Пример 2. Расчет прочности оси барабана механизма подъема по заданной нормированной величине безотказной работы, когда нагрузка является случайным процессом (случай А п.2.4).

Исходные данные:

Материал оси - сталь 34ХН3М;

$\langle S \rangle = 0,45 \cdot 10^3$ кгс/см² - математическое ожидание процесса действующих напряжений;

$\psi = 0,75$ - коэффициент вариации процесса напряжений;

$k = 3$ - количество средних квадратических отклонений между

$\langle S \rangle$ и S_{max} ;

$\langle S_0 \rangle = 7,6 \cdot 10^3$ кгс/см² - математическое ожидание опасного уровня напряжений;

$\nu = 0,06$ - коэффициент вариации опасного уровня напряжений;

$l = 2$ - количество средних квадратических отклонений между $\langle S_0 \rangle$ и $S_{отп}$;

$\varphi = 0,75$; $\bar{n} = 5 \cdot 10^{-2}$ 1/с; $t_p = 2 \cdot 10^8$ с; $[p] = 0,99$.

Решение:

1. По формуле (12) определяется максимальное расчетное напряжение

$$S_{max} = \langle S \rangle (1 + k \psi) = 0,45 \cdot 10^3 (1 + 3 \cdot 0,75) = 1,46 \cdot 10^3 \text{ кгс/см}^2.$$

2. По формуле (13) определяется минимальное расчетное опасное напряжение

$$S_{отп} = \langle S_0 \rangle (1 - l \cdot \nu) = 7,6 \cdot 10^3 (1 - 2 \cdot 0,06) = 6,7 \cdot 10^3 \text{ кгс/см}^2.$$

3. По формуле (15) определяется характеристика безопасности

$$\gamma = \sqrt{-2 \ln \left(- \frac{\ln [p] \sqrt{1 + \varphi^2}}{\varphi \bar{n} t_p} \right)} = \sqrt{-2 \ln \left(- \frac{\ln 0,99 \sqrt{1 + 0,75^2}}{0,75 \cdot 5 \cdot 10^{-2} \cdot 2 \cdot 10^8} \right)} =$$

$$= \sqrt{-2 \ln 1,67 \cdot 10^{-10}} = \sqrt{2 \cdot 22,50} = 6,71.$$

4. По формуле (14) определяется коэффициент запаса прочности

$$n_1 = \frac{(1-l\nu)(\varphi + \psi \sqrt{\varphi^2 + 1})}{\varphi(1+k\psi)} = \frac{(1-2 \cdot 0,06)(0,75 + 0,75 \cdot 6,7 \cdot 1,25)}{0,75(1+3 \cdot 0,75)} = 2,54.$$

5. По формуле (11) производится проверка прочности оси барабана

$$\frac{S_{0.min}}{n_1} = \frac{6,7 \cdot 10^3}{2,54} = 2,63 \cdot 10^3 \text{ кгс/см}^2 > S_{max} = 1,46 \cdot 10^3 \text{ кгс/см}^2.$$

Прочность оси обеспечена.

Пример 3. Определение диаметра расчетного сечения оси барабана при условии, что нагрузка является случайным процессом (случай А п.2.5).

Исходные данные аналогичны предыдущему примеру.

Дополнительные данные:

$\langle S_H \rangle = 3 \cdot 10^5$ кгс·см – математическое ожидание опасного уровня нагружения;

$k_H = 3$ – количество средних квадратических отклонений между $\langle S_H \rangle$ и $S_{H.max}$;

$\psi_H = 0,75$ – коэффициент вариации нагрузки.

Решение:

1. По формуле (17) определяется расчетное значение максимальной нагрузки

$$S_{H.max} = \langle S_H \rangle (1 + k_H \psi_H) = 3 \cdot 10^5 (1 + 3 \cdot 0,75) = 9,75 \cdot 10^5 \text{ кгс·см.}$$

2. По формуле (16) определяется момент сопротивления оси барабана

$$F = \frac{S_{H.max} \cdot n_1}{S_{0.min}} = \frac{9,75 \cdot 10^5 \cdot 2,54}{6,7 \cdot 10^3} = 3,7 \cdot 10^2 \text{ см}^3,$$

и следовательно,

$$d = \sqrt[3]{\frac{32F}{\pi}} = \sqrt[3]{\frac{32 \cdot 3,7 \cdot 10^2}{3,14}} = 15,6 \text{ см.}$$

Пример 4. Расчет вероятности безотказной работы вала механизма подъема по условию невыпешения нагрузкой опасного уровня (случай А п.2.6.).

Исходные данные:

$d = 15$ см – диаметр вала в опасном сечении;

$\langle S_0 \rangle = 22,5 \cdot 10^5$ кгс·см; $\Delta S_0 = 1,3 \cdot 10^5$ кгс·см – среднее зна-

чение и цена разряда гистограммы уровня опасного нагружения. (по аналогии с примером по п.2.3.);

материал вала - сталь 34ХНЗМ (НВ = 270);

$p_1 = 0,02$; $p_2 = 0,14$; $p_3 = 0,34$; $p_4 = 0,34$; $p_5 = 0,14$; $p_6 = 0,02$; - частоты появления нагрузок в соответствующих разрядах гистограммы опасного уровня нагружения (см. черт. 2).

$$S_{0.min} = \langle S_0 \rangle - 3 \Delta S_0 = 18,6 \cdot 10^5 \text{ кгс}\cdot\text{см};$$

$$S_{0.max} = \langle S_0 \rangle + 3 \Delta S_0 = 26,4 \cdot 10^5 \text{ кгс}\cdot\text{см} - \text{минимальное}$$

и максимальное значения опасного уровня нагружения;

$\langle S \rangle = 3 \cdot 10^5 \text{ кгс}\cdot\text{см}$; $S_{max} = 9 \cdot 10^5 \text{ кгс}\cdot\text{см}$ - математическое ожидание и максимальное значение процесса нагружения;

$$t^p = 2 \cdot 10^8 \text{ с} - \text{время работы вала};$$

$n^p = 2,55 \cdot 10^{-1} \text{ 1/с}$; $n_H = 1,1 \text{ 1/с}$ - среднее число выбросов в единицу времени за уровни R_K и R_H , полученное по осциллограммам.

Решение:

1. В соответствии с пунктом 2.6. определяются значения уровней R_{0i} , R_K , R_H и коэффициент γ ;

$$R_K = \frac{0,97 S_{max}}{\langle S \rangle} = \frac{0,97 \cdot 9}{3} = 2,91;$$

$$R_H = \frac{0,85 S_{max}}{\langle S \rangle} = \frac{0,85 \cdot 9}{3} = 2,55;$$

$$R_{01} = \frac{S_{0.min}}{\langle S \rangle} = \frac{18,6}{3} = 6,20;$$

$$R_{02} = \frac{S_{0.min} + \Delta S_0}{\langle S \rangle} = \frac{19,9}{3} = 6,64;$$

$$R_{03} = \frac{S_{0.min} + 2 \Delta S_0}{\langle S \rangle} = \frac{21,2}{3} = 7,06;$$

$$R_{04} = \frac{S_{0.min} + 3 \Delta S_0}{\langle S \rangle} = \frac{22,5}{3} = 7,50;$$

$$R_{05} = \frac{S_{0.min} + 4 \Delta S_0}{\langle S \rangle} = \frac{23,8}{3} = 7,94;$$

$$R_{06} = \frac{S_{0.min} + 5 \Delta S_0}{\langle S \rangle} = \frac{25,1}{3} = 8,36;$$

$$\gamma = \frac{\ln n_H - \ln n_K}{\ln(R_K - 1)^2 - (R_H - 1)^2} = \frac{\ln 1,1 - \ln 3,5 \cdot 10^{-1}}{\ln(2,91 - 1)^2 - (2,55 - 1)^2} = 0,91.$$

2. По формуле (19) определяется среднее число выбросов в единицу времени за каждый из уровней i .

$$\pi_1 = 1,1 \exp \{-0,91 \Gamma(6,20-1)^2 - (2,55-1)^2\} = 1,1 \exp(-22,5) = 1,1 \cdot 4,5 \cdot 10^{-5} \cdot 4,5 \cdot 10^{-5} \cdot 8,2 \cdot 10^{-2} = 1,83 \cdot 10^{-10} \text{ 1/с;}$$

$$\pi_2 = 1,1 \exp \{(-0,91 \cdot \Gamma(6,64-1)^2 - (2,55-1)^2)\} = 1,1 \exp(-29,4) = 1,1 \cdot 4,5 \cdot 10^{-5} \cdot 4,5 \cdot 10^{-5} \cdot 1,11 \cdot 10^{-3} = 2,5 \cdot 10^{-12} \text{ 1/с;}$$

$$\pi_3 = 1,1 \exp \{-0,91 \Gamma(7,06-1)^2 - (2,55-1)^2\} = 1,1 \exp(-31,3) = 1,1 \cdot 4,5 \cdot 10^{-5} \cdot 4,5 \cdot 10^{-5} \cdot 4,5 \cdot 10^{-5} \cdot 0,273 = 2,74 \cdot 10^{-14} \text{ 1/с;}$$

$$\pi_4 = 1,1 \exp \{-0,91 \Gamma(7,50-1)^2 - (2,55-1)^2\} = 1,1 \exp(-36,4) = 1,1 \cdot 4,5 \cdot 10^{-5} \cdot 4,5 \cdot 10^{-5} \cdot 4,5 \cdot 10^{-5} \cdot 1,67 \cdot 10^{-3} = 1,68 \cdot 10^{-16} \text{ 1/с;}$$

$$\pi_5 = 1,1 \exp \{-0,91 \Gamma(7,94-1)^2 - (2,55-1)^2\} = 1,1 \exp(-41,6) = 1,1 \cdot 4,5 \cdot 10^{-5} \cdot 4,5 \cdot 10^{-5} \cdot 4,5 \cdot 10^{-5} \cdot 4,5 \cdot 10^{-5} \cdot 2,02 \cdot 10^{-1} = 9,12 \cdot 10^{-19} \text{ 1/с;}$$

$$\pi_6 = 1,1 \exp \{-0,91 \Gamma(8,38-1)^2 - (2,55-1)^2\} = 1,1 \exp(-47) = 1,1(4,5 \cdot 10^{-6})^4 \cdot 9,1 \cdot 10^{-4} = 4,12 \cdot 10^{-21} \text{ 1/с.}$$

3. Определяется среднее число выбросов в единицу времени за опасный уровень

$$\pi^* = \sum \pi_i \rho_i = 1,83 \cdot 10^{-10} \cdot 0,02 + 2,5 \cdot 10^{-12} \cdot 0,14 + 2,74 \cdot 10^{-14} \cdot 0,34 + 1,68 \cdot 10^{-16} \cdot 0,34 + 9,12 \cdot 10^{-19} \cdot 0,14 + 4,12 \cdot 10^{-21} \cdot 0,02 \approx 4,02 \cdot 10^{-12}$$

4. По формуле (18) определяется вероятность неразрушения вала из условия непревышения нагрузки опасного уровня.

$$P_H(t) = 1 - \pi^* t_p = 1 - 4,02 \cdot 10^{-12} \cdot 2 \cdot 10^8 \approx 0,9992.$$

При совместном действии кручения и изгиба характеристики процесса нагружения можно определить по следующим зависимостям

$$\langle S \rangle = \sqrt{\langle S_H \rangle^2 + \langle S_K \rangle^2} \quad ;$$

$$S_{max} = \sqrt{(S_{H,max})^2 + (S_{K,max})^2} \quad ,$$

где $\langle S_H \rangle, \langle S_K \rangle$ - математические ожидания процесса нагружения при изгибе и кручении;

$S_{H,max}, S_{K,max}$ - максимальные значения процесса нагружения при изгибе и кручении,

Количество выбросов в единицу времени приведенного момен-

та S за уровни S_H и S_K определяется непосредственно по осциллограммам:

Пример 5. Расчет вероятности безотказной работы вала механизма подъема по условию непревышения нагрузкой опасного уровня (случай Б п.2.7.).

Исходные данные:

$d_B = 12,0$ см - диаметр вала;

$W_{II} = 169,6$ см³ - момент сопротивления сечения;

$\langle \sigma_T \rangle = 6,7 \cdot 10^3$ кгс/см² - математическое ожидание предела текучести для стали 34ХН3М;

$\langle S_o \rangle = \langle \sigma_T \rangle W_{II} = 11,4 \cdot 10^5$ кгс·см - математическое ожидание опасного уровня нагружения;

$\sigma_o = 0,7 \cdot 10^5$ кгс·см - среднее квадратическое отклонение опасного уровня нагружения;

$$S_{o,max} = \langle S_o \rangle + 3 \sigma_o = 11,4 \cdot 10^5 + 3 \cdot 0,7 \cdot 10^5 = 13,5 \cdot 10^5 \text{ кгс·см};$$

$S_{o,min} = \langle S_o \rangle - 3 \sigma_o = 11,4 \cdot 10^5 - 3 \cdot 0,7 \cdot 10^5 = 9,3 \cdot 10^5$ кгс·см, максимальное и минимальное значения опасного уровня нагружения;

$$S_{max} = 9 \cdot 10^5 \text{ кгс·см}; \quad S_{min} = 0; \quad \langle S \rangle = 3 \cdot 10^5 \text{ кгс·см};$$

$\sigma_S = 2,2 \cdot 10^5$ кгс·см - характеристики процесса нагружения в опасном сечении вала;

$t_p = 2 \cdot 10^8$ с - расчетное время работы вала;

$p_{II} = 7,5 \cdot 10^{-7}$ 1/с - количество нагружений в единицу времени,

Решение:

В соответствии с п.2.7. и формулой (21) определяется

$$C_6^1 = \frac{1}{2 \left\{ \Phi \left[\frac{(13,5 \cdot 10^5 - 0) - (11,4 \cdot 10^5 - 3 \cdot 10^5)}{\sqrt{2} \sqrt{0,7^2 + 2,2^2 \cdot 10^5}} \right] - \frac{1}{\Phi \left[\frac{(9,3 \cdot 10^5 - 9,0 \cdot 10^5) - (11,4 \cdot 10^5 - 3 \cdot 10^5)}{\sqrt{2} \sqrt{0,7^2 + 2,2^2 \cdot 10^5}} \right]} \right\}} = 1,014;$$

$$p_H(t) = \left\{ \frac{1,014}{2} \Phi \left[\frac{(13,5 \cdot 10^5 - 0) - (11,4 \cdot 10^5 - 3 \cdot 10^5)}{\sqrt{2} \sqrt{0,7^2 + 2,2^2 \cdot 10^5}} \right] + \right.$$

$$+ \frac{1,014}{2} \Phi \left[\frac{(11,4 \cdot 10^5 - 3 \cdot 10^5)}{\sqrt{2} \sqrt{0,7^2 + 2,2^2 \cdot 10^5}} \right] \}^{150} =$$

$$= \left\{ \frac{1,014}{2} [\Phi(1,56) + \Phi(2,58)] \right\}^{150} = (0,9997)^{150} = 0,9660.$$

Пример 6. Расчет прочности вала механизма подъема по заданной нормированной величине безотказной работы, когда нагрузка является случайной величиной (случай Б, п.2.8.).

Исходные данные:

$\langle S \rangle = 0,77 \cdot 10^3$ кгс/см² - математическое ожидание уровня напряжений;

$\psi = 0,73$ - коэффициент вариации действующих напряжений;

$k = 2,7$ - количество средних квадратических отклонений между $\langle S \rangle$ и S_{max} .

$\nu = 0,06$ - коэффициент вариации опасного уровня напряжений;

$\langle S_0 \rangle = 6,7 \cdot 10^3$ кгс/см² - математическое ожидание опасного уровня напряжений,

$C' \approx 1,6$; $l = 2$; $\varphi = 1,4$; $[r] = 0,99$; $t_p = 2 \cdot 10^2$ с; $\bar{n} = 7,5 \cdot 10^{-7}$ 1/с.

Решение:

1. По формуле (12) определяется максимальное расчетное напряжение.

$$S_{max} = \langle S \rangle \cdot (1 + k\psi) = 0,77 \cdot 10^3 (1 + 2,7 \cdot 0,73) = 2,3 \cdot 10^3 \text{ кгс/см}^2.$$

2. По формуле (13) определяется минимальное расчетное опасное напряжение

$$S_{0,min} = \langle S_0 \rangle (1 - l\nu) = 6,7 \cdot 10^3 (1 - 2 \cdot 0,06) = 5,9 \cdot 10^3 \text{ кгс/см}^2.$$

3. По формуле (24) определяется значение функции Лапласа

$$\Phi(x) = 2 \frac{n t_p}{\sqrt{[r]}} - 1 = 2 \frac{150}{\sqrt{0,99}} - 1 \approx 1,0.$$

4. По таблице устанавливается, что данному значению $\Phi(x)$ соответствует величина

$$x = 3,0.$$

5. По формуле (23) определяется характеристика безопасности $\gamma_{\perp} = x \sqrt{2} = 3,0 \cdot \sqrt{2} = 4,25.$

6. По формуле (14) определяется коэффициент запаса прочности

$$n_1 = \frac{(1 - \nu)(\varphi + \psi \sqrt{\varphi^2 + 1})}{\varphi(1 + k\varphi)} = \frac{(1 - 2 \cdot 0,06)(1,40 + 0,73 \cdot 4,25 \cdot 1,72)}{1,40(1 + 2,7 \cdot 0,73)} = 1,41.$$

7. По формуле (11) производится проверка прочности вала

$$\frac{S_{a, \min}}{n_1} = \frac{5,9 \cdot 10^3}{1,41} = 4,18 \cdot 10^3 \text{ кгс/см}^2 > S_{\max} = 2,3 \cdot 10^3 \text{ кгс/см}^2.$$

Прочность вала обеспечена.

Пример 7. Определение диаметра расчетного сечения оси барабана механизма подъема, при условии, что нагрузка является случайной величиной (п.2.9.).

Исходными данными являются данные предыдущих примеров 5 и 6. Помимо этого

$$k_H = 2,7; \psi_H = 0,73; \langle S_H \rangle = 3 \cdot 10^5 \text{ кгс-см.}$$

Решение:

1. По формуле (17) определяется расчетное значение максимальной нагрузки

$$S_{H, \max} = \langle S_H \rangle (1 + k_H \psi_H) = 3 \cdot 10^5 (1 + 2,7 \cdot 0,73) = 9 \cdot 10^5 \text{ кгс-см.}$$

2. По формуле (16) определяется момент сопротивления оси

$$F = \frac{S_{H, \max} n_1}{S_{a, \min}} = \frac{9 \cdot 10^5 \cdot 1,41}{5,9 \cdot 10^3} = 2,16 \cdot 10^2 \text{ см}^3,$$

откуда

$$d_B = \sqrt[3]{\frac{32,2 \cdot 16 \cdot 10^2}{3,14}} = 13,0 \text{ см.}$$

Пример 8. Расчет вероятности безотказной работы по условию сохранения циклической прочности оси барабана механизма подъема при изгибе.

Исходные данные:

материал оси - сталь 34ХНЗМ (HB = 270);

$d_0 = 20,0$ см - диаметр оси в опасном сечении;

$W_G = 785$ см³ - момент сопротивления сечения;

$k_G(d) = 2,9$ - эффективный коэффициент концентрации в расчетном сечении;

$\langle \sigma_{-1} \rangle = 3,7 \cdot 10^3$ кгс/см² - средняя величина предела выносливости материала по изгибу;

$\rho = 0,12$ - коэффициент вариации предела выносливости материала;

$\sigma_{\text{пр}}^{\text{min}} = 0$; $\sigma_{\text{пр}}^{\text{max}} = 1,2 \cdot 10^3$ кгс/см²; $\Delta \sigma_{\text{пр}} = 1 \cdot 10^2$ кгс/см² -

минимальное, максимальное значения и цена разряда гистограммы приведенных напряжений;

$n = 12$ - число разрядов гистограммы приведенных напряжений;

$p_1 = 0,01$; $p_2 = 0,05$; $p_3 = 0,10$; $p_4 = 0,18$; $p_5 = 0,20$; $p_6 = 0,12$; $p_7 = 0,11$; $p_8 = 0,09$; $p_9 = 0,07$; $p_{10} = 0,03$; $p_{11} = 0,01$; $p_{12} = 0,01$ - частоты разрядов гистограммы приведенных напряжений;

$N = 2 \cdot 10^6$ - количество нагружений вала за 20 лет эксплуатации крана;

$N_0 = 2 \cdot 10^6$ - базовое число циклов нагружения;

$m = 9$ - показатель степени кривой усталости.

Решение:

1. Определяются характеристики предела выносливости оси при изгибе.

$$\langle \sigma_{-1\text{к}} \rangle = \frac{\langle \sigma_{-1} \rangle}{K_{\sigma d}} = \frac{3,7 \cdot 10^3}{2,9} = 1,3 \cdot 10^3 \text{ кгс/см}^2;$$

$$\sigma_{\sigma_{-1\text{к}}} = \rho (\sigma_{-1\text{к}}) = 0,12 \cdot 1,3 \cdot 10^3 = 0,16 \cdot 10^3 \text{ кгс/см}^2;$$

$$\sigma_{-1\text{к}}^{\text{max}} = \langle \sigma_{-1\text{к}} \rangle + 3 \sigma_{\sigma_{-1\text{к}}} = 1,3 \cdot 10^3 + 0,48 \cdot 10^3 = 1,78 \cdot 10^3 \text{ кгс/см}^2;$$

$$\sigma_{-1\text{к}}^{\text{min}} = \langle \sigma_{-1\text{к}} \rangle - 3 \sigma_{\sigma_{-1\text{к}}} = 1,3 \cdot 10^3 - 0,48 \cdot 10^3 = 0,82 \cdot 10^3 \text{ кгс/см}^2;$$

2. Выбирается начальная величина порогового значения неограниченного предела усталости

$$\sigma_{-1\text{к}}^* = 0,5 \cdot \langle \sigma_{-1\text{к}} \rangle = 0,5 \cdot 1,3 \cdot 10^3 = 0,65 \cdot 10^3 \text{ кгс/см}^2;$$

$$0,5 \sigma_{-1\text{к}}^* = 0,5 \cdot 0,65 \cdot 10^3 = 0,32 \cdot 10^3 \text{ кгс/см}^2.$$

3. Определяется значение сумм в формуле (27) и устанавливается значение корректирующего коэффициента a .

$$a) \sum_{i=1}^{12} \sigma_{\text{пр}i}^* p_i = \sum_{i=1}^{12} \sigma_{\text{пр}i} p_i = 3,5 \cdot 10^2 \cdot 0,18 + 4,5 \cdot 10^2 \cdot 0,20 + 5,5 \cdot 10^2 \cdot 0,12 + 6,5 \cdot 10^2 \cdot 0,11 + 7,5 \cdot 10^2 \cdot 0,09 + 8,5 \cdot 10^2 \cdot 0,07 + 9,5 \cdot 10^2 \cdot 0,03 + 10,5 \cdot 10^2 \cdot 0,01 + 11,5 \cdot 10^2 \cdot 0,01 = 4,67 \cdot 10^2;$$

$$б) \sum_{0,5 \epsilon_{-1K}^*}^{\epsilon_{np}^{max}} \rho_i = \frac{12 \cdot 10^3}{0,32 \cdot 10^3} \rho_i = 0,18 + 0,20 + 0,12 + 0,11 + 0,09 + 0,07 + 0,03 + 0,01 + 0,01 = 0,82;$$

$$в) \alpha = \frac{\sum \epsilon_{np} \rho_i - 0,5 \epsilon_{-1K}^*}{\sum \rho_i - 0,5 \epsilon_{-1K}^*} = \frac{4,67 \cdot 10^2 - 3,2 \cdot 10^2}{12 \cdot 10^2 - 3,2 \cdot 10^2} = 0,30.$$

4. Определяется значение суммы подкоренного выражения в формуле (26)

$$\sum_{\epsilon_{-1K}^*}^{\epsilon_{np}^{max}} \epsilon_{np}^m \rho_i = \sum_{0,65 \cdot 10^3}^{12 \cdot 10^3} \epsilon_{np}^m \rho_i = (6,5 \cdot 10^2)^9 \cdot 0,11 + (7,5 \cdot 10^2)^9 + (8,5 \cdot 10^2)^9 \cdot 0,07 + (9,5 \cdot 10^2)^9 \cdot 0,03 + (10,5 \cdot 10^2)^9 \cdot 0,01 + (11,5 \cdot 10^2)^9 \cdot 0,01 = 0,095 \cdot 10^{27}.$$

5. По формуле (26) определяется первое приближение значения неограниченного предела выносливости:

$$\epsilon_{-1K}^{*(1)} = \sqrt{\frac{N}{\alpha N_0} \frac{\epsilon_{np}^{max}}{\epsilon_{-1K}^*} \sum \epsilon_{np}^m \rho_i} = \sqrt{\frac{9}{0,3 \cdot 2 \cdot 10} \frac{2 \cdot 10^6}{0,095 \cdot 10^{27}} = 0,9 \cdot 10^3 \text{ кгс/см}^2.}$$

6. Производится расчет сумм в формуле (27) и устанавливается новое значение коэффициента α из условия, что

$$\epsilon_{-1K}^* = \epsilon_{-1K}^{*(1)} = 9 \cdot 10^2 \text{ кгс/см}^2; 0,5 \epsilon_{-1K}^* = 4,5 \cdot 10^2 \text{ кгс/см}^2.$$

В этом случае

$$а) \sum_{0,45 \epsilon_{-1K}^*}^{\epsilon_{np}^{max}} \epsilon_{np} \rho_i = \sum_{0,45 \cdot 10^3}^{12 \cdot 10^3} \epsilon_{np}^m \rho_i = 5,5 \cdot 10^2 \cdot 0,12 + 6,5 \cdot 10^2 \cdot 0,11 + 7,5 \cdot 10^2 \cdot 0,09 + 8,5 \cdot 10^2 \cdot 0,07 + 9,5 \cdot 10^2 \cdot 0,03 + 10,5 \cdot 10^2 \cdot 0,01 + 11,5 \cdot 10^2 \cdot 0,01 = 3,14 \cdot 10^2;$$

$$б) \quad \sum_{0,5\sigma_{-1K}^*}^{\sigma_{np}^{max}} \rho_i = \sum_{0,45 \cdot 10^3}^{12 \cdot 10^3} \rho_i = 0,12 + 0,11 + 0,09 + 0,07 + 0,03 + 0,01 + 0,01 = 0,44;$$

$$в) \quad \alpha = \frac{3,14 \cdot 10^2}{12 \cdot 10^2 - 4,5 \cdot 10^2} - 4,5 \cdot 10^2 = \frac{2,64 \cdot 10^2}{7,5 \cdot 10^2} = 0,35.$$

7. Определяется значение суммы в формуле (26)

$$\sum_{0,5\sigma_{-1K}^*}^{\sigma_{np}^{max}} \sigma_{np i}^m \rho_i = \sum_{9 \cdot 10^2}^{12 \cdot 10^3} \sigma_{np i}^m \rho_i = (9,5 \cdot 10^2)^9 \cdot 0,03 + (10,5 \cdot 10^2)^9 \cdot 0,01 + (11,5 \cdot 10^2)^9 \cdot 0,01 = 0,071 \cdot 10^{27}.$$

8. Определяется второе приближенное значение неограниченного предела выносливости

$$\sigma_{-1K}^{*(2)} = \sqrt[9]{\frac{2,10^6}{0,95 \cdot 2 \cdot 10^6} \cdot 0,071 \cdot 10^{27}} = 0,84 \cdot 10^3 \text{ кгс/см}^2.$$

Это значение $\sigma_{-1K}^{*(2)}$ приемлемо, так как нижний порог суммирования в формуле (26) был равным $0,9 \cdot 10^3$ кгс/см².

9. По формуле (9) с учетом замены величины S на величину σ_{-1K}^* определяется значение коэффициента C_3

$$C_3 = \frac{1}{\frac{1}{2} \left[\Phi \left(\frac{\sigma_{-1K}^{max} - \langle \sigma_{-1K} \rangle}{\sqrt{2} \sigma_{\sigma K}} \right) - \Phi \left(\frac{\sigma_{-1K}^{min} - \langle \sigma_{-1K} \rangle}{\sqrt{2} \sigma_{\sigma K}} \right) \right]} = \frac{1}{\frac{1}{2} \left[\Phi \left(\frac{1,78 \cdot 10^3 - 1,3 \cdot 10^3}{\sqrt{2} \cdot 0,16 \cdot 10^3} \right) - \Phi \left(\frac{0,82 \cdot 10^3 - 1,3 \cdot 10^3}{\sqrt{2} \cdot 0,16 \cdot 10^3} \right) \right]} = 1,0028.$$

10. По формуле (25) определяется вероятность неразрушения оси при изгибе по условию сохранения циклической прочности:

$$\rho_4(t) = \frac{C_3}{2} \left[\Phi \left(\frac{\sigma_{-1K}^{max} - \langle \sigma_{-1K} \rangle}{\sqrt{2} \sigma_{\sigma K}} \right) - \Phi \left(\frac{\sigma_{-1K}^{*} - \langle \sigma_{-1K} \rangle}{\sqrt{2} \sigma_{\sigma K}} \right) \right] =$$

$$= \frac{1,0028}{2} \left[\Phi \left(\frac{1,78 \cdot 10^3 - 1,3 \cdot 10^3}{\sqrt{2 \cdot 0,16 \cdot 10^3}} \right) - \Phi \left(\frac{0,84 \cdot 10^3 - 1,3 \cdot 10^3}{\sqrt{2 \cdot 0,16 \cdot 10^3}} \right) \right] = 0,9993.$$

11. Расчет приближенного значения неограниченного предела выносливости производится по формулам, аналогичным (26), (27). При этом принимается начальное значение $\epsilon_{-1к}^* = \langle \epsilon_{-1к} \rangle$.

В том случае, когда $\langle \epsilon_{-1к} \rangle > \epsilon_{пр}^{max}$, допускается нижний предел интегрирования в формуле (26) принимать равным $\epsilon_{-1к}^{min}$.

$$\begin{aligned} \epsilon_{-1к}^* &= \langle \epsilon_{-1к} \rangle = 1,3 \cdot 10^3 \text{ кгс/см}^2; \\ 0,5 \epsilon_{-1к}^* &= 0,5 \cdot 1,3 \cdot 10^3 = 0,65 \cdot 10^3 \text{ кгс/см}^2. \end{aligned}$$

12. Определяются значения сумм в формуле (26)

$$\begin{aligned} \text{а) } \sum_{0,5 \epsilon_{-1к}^*}^{\epsilon_{пр}^{max}} \epsilon_{пр i} \rho_i &= \sum_{0,65 \cdot 10^3}^{1,2 \cdot 10^3} \epsilon_{пр i} \rho_i = 6,5 \cdot 10^2 \cdot 0,11 + \\ &+ 7,5 \cdot 10^2 \cdot 0,09 + 8,5 \cdot 10^2 \cdot 0,07 + 9,5 \cdot 10^2 \cdot 0,03 + 10,5 \cdot 10^2 \cdot 0,01 + \\ &+ 11,5 \cdot 10^2 \cdot 0,01 = 2,49 \cdot 10^2; \end{aligned}$$

$$\text{б) } \sum \rho_i = \sum_{0,65 \cdot 10^3}^{1,2 \cdot 10^3} \rho_i = 0,11 + 0,09 + 0,07 + 0,03 + 0,01 + 0,01 = 0,32;$$

$$\begin{aligned} \text{в) } \sum_{\epsilon_{-1к}^{min}}^{\epsilon_{пр}^{max}} \epsilon_{пр i}^m \rho_i &= \sum_{0,65 \cdot 10^3}^{1,2 \cdot 10^3} \epsilon_{пр i}^m \rho_i = (0,85 \cdot 10^3)^9 \cdot 0,07 + \\ &+ (0,95 \cdot 10^3)^9 \cdot 0,03 + (1,05 \cdot 10^3)^9 \cdot 0,01 + (1,15 \cdot 10^3)^9 \cdot 0,01 = 0,087 \cdot 10^{27}. \end{aligned}$$

13. По формуле (27) определяется сумма относительных повреждений

$$\alpha = \frac{\sum \epsilon_{пр i} \rho_i - 0,5 \epsilon_{-1к}^*}{\epsilon_{пр}^{max} - 0,5 \epsilon_{-1к}^*} = \frac{2,49 \cdot 10^2 \cdot 0,32 - 0,65 \cdot 10^3}{1,2 \cdot 10^3 - 0,65 \cdot 10^3} = 0,24.$$

14. Вычисляется пороговое значение неограниченного предела выносливости по формуле (26)

$$\sigma_{-1к}^* = \sqrt{\frac{m}{n} \frac{N}{N_0} \frac{12 \cdot 10^3}{1,06 \cdot 10,3}} \sigma_{npi}^m \rho_i = \frac{2 \cdot 10^6}{0,24 \cdot 2 \cdot 10^5} \cdot 0,087 \cdot 10^{27} =$$

$$= 0,89 \cdot 10^3 \text{ кгс/см}^2.$$

15. Относительная величина погрешности по эквивалентному напряжению вычисляется как

$$\Delta = \frac{\sigma_{-1к}^* - \sigma_{-1к}^{*(2)}}{\sigma_{-1к}^{*(2)}} = \frac{8,9 \cdot 10^2 - 8,4 \cdot 10^2}{8,4 \cdot 10^2} \cdot 100\% = 6,0\%.$$

16. При подстановке значения $\sigma_{-1к}^* = 0,89 \cdot 10^3 \text{ кгс/см}^2$ в формулу (25) аналогично пункту 10 определяется вероятность неразрушения оси $p_{ц}'(t) = 0,9952$.

Относительная погрешность по вероятности неразрушения оси при изгибе определится как

$$\delta = \frac{p_{ц}(t) - p_{ц}'(t)}{p_{ц}(t)} = \frac{0,9993 - 0,9952}{0,9993} \cdot 100\% = 0,41\%.$$

Пример 9. Расчет вероятности безотказной работы по условию сохранения циклической прочности вала механизма подъема при кручении (пункт 3.5.).

Исходные данные:

Материал вала - сталь 34ХНЗМ;

$k_{\tau}(d) = 2,7$ - эффективный коэффициент концентрации вала в расчетном сечении;

$\langle \tau_{-1} \rangle = 2,2 \cdot 10^3 \text{ кгс/см}^2$ - средняя величина предела выносливости материала по кручению;

$\rho = 0,14$ - коэффициент вариации предела выносливости материала;

$\langle \tau_1 \rangle = 6 \cdot 10^2 \text{ кгс/см}^2$; $\sigma_{\tau_1} = 0,8 \cdot 10^2 \text{ кгс/см}^2$ - математическое ожидание и среднее квадратическое отклонение при обработке нагрузки по огибающей (обработка по амплитудам низкочастотной составляющей);

$\langle \tau_2 \rangle = 2,5 \cdot 10^2 \text{ кгс/см}^2$; $\sigma_{\tau_2} = 2 \cdot 10^2 \text{ кгс/см}^2$ - математическое ожидание и среднее квадратическое отклонение при обработке по максимальным и минимальным значениям нагрузки;

$N = 2 \cdot 10^6$ - количество нагружений вала;

$N_0 = 2 \cdot 10^6$ - базовое число нагружений;

$m = 9$ - показатель степени кривой усталости;
 $p_1 = 0,15$ - вероятность появления 1-го закона (обработка по огибающей);
 $p_2 = 0,85$ - вероятность появления 2-го закона (обработка по максимальным и минимальным значениям);
 $C_3 = 1,0028$.

Решение:

1. Определяются характеристики предела выносливости вала по кручению

$$\langle \tau_{-1k} \rangle = \frac{\langle \tau_{-1} \rangle}{k_{\tau}(d)} = \frac{2,2 \cdot 10^3}{2,7} = 8,15 \cdot 10^2 \text{ кгс/см}^2;$$

$$\tau_{\sigma k} = \rho \langle \tau_{-1k} \rangle = 0,14 \cdot 8,15 \cdot 10^2 = 1,14 \cdot 10^2 \text{ кгс/см}^2;$$

$$\tau_{-1k} = \langle \tau_{-1k} \rangle + 3 \tau_{\sigma k} = 8,15 \cdot 10^2 + 3 \cdot 1,14 \cdot 10^2 = 11,57 \cdot 10^2 \text{ кгс/см}^2;$$

$$\tau_{-1k} = \langle \tau_{-1k} \rangle - 3 \tau_{\sigma k} = 8,15 \cdot 10^2 - 3 \cdot 1,14 \cdot 10^2 = 4,73 \cdot 10^2 \text{ кгс/см}^2;$$

2. Определяются относительные характеристики законов распределения приведенных амплитуд

$$\langle \chi_1 \rangle = \frac{\langle \tau_1 \rangle}{\langle \tau_{-1k} \rangle} = \frac{6 \cdot 10^2}{8,15 \cdot 10^2} = 0,736;$$

$$\chi_1^{max} = \frac{\langle \tau_1 \rangle + 4\sigma \tau_1}{\langle \tau_{-1k} \rangle} = \frac{6 \cdot 10^2 + 4 \cdot 0,8 \cdot 10^2}{8,15 \cdot 10^2} = 1,13;$$

$$\chi_1^{min} = \frac{\langle \tau_1 \rangle - 4\sigma \tau_1}{\langle \tau_{-1k} \rangle} = \frac{6 \cdot 10^2 - 4 \cdot 0,8 \cdot 10^2}{8,15 \cdot 10^2} = 0,344;$$

$$\chi_{\sigma 1} = \frac{\sigma \tau_1}{\langle \tau_{-1k} \rangle} = \frac{0,8 \cdot 10^2}{8,15 \cdot 10^2} = 0,098;$$

$$\langle \chi_2 \rangle = \frac{\langle \tau_2 \rangle}{\langle \tau_{-1k} \rangle} = \frac{2,5 \cdot 10^2}{8,15 \cdot 10^2} = 0,307; \quad \chi_2^{min} = 0;$$

$$\chi_2^{max} = \frac{\langle \tau_2 \rangle + 4\sigma \tau_2}{\langle \tau_{-1k} \rangle} = \frac{2,5 \cdot 10^2 + 4 \cdot 2 \cdot 10^2}{8,15 \cdot 10^2} = 1,290;$$

$$\chi_{\sigma 2} = \frac{\sigma \tau_2}{\langle \tau_{-1k} \rangle} = \frac{2 \cdot 10^2}{8,15 \cdot 10^2} = 0,246.$$

3. Определяется значение коэффициента k_j по п.3.5., формула (34); $k_1 \approx 1,0$;

$$k_2 = \frac{1}{\frac{1}{2} [\Phi(\frac{1,29-0,307}{\sqrt{2} \cdot 0,246}) - \Phi(\frac{0-0,307}{\sqrt{2} \cdot 0,246})]} = 1,12.$$

4. Определяются значения функций h_j и h_j^{max}

$$h_1^{max} = \frac{x_1^{max} - <x_i>}{x_{\sigma_1}} = \frac{1,13 - 0,736}{0,098} = 4,02;$$

$$h_1 = \frac{-<x_1> + 0,5}{x_{\sigma_1}} = \frac{-0,736 + 0,5}{0,098} = -2,41;$$

$$h_2^{max} = \frac{x_2^{max} - <x_2>}{x_{\sigma_2}} = \frac{1,29 - 0,307}{0,246} = 4,0;$$

$$h_2 = \frac{0,5 - <x_2>}{x_{\sigma_2}} = \frac{0,5 - 0,307}{0,246} = 0,785.$$

5. По черт. 7 определяются значения функций

$$f_{11} = f_a(h_1^{max}) = f_a(4,02) = 0,45;$$

$$f_{21} = f_a(h_1) = f_a(-2,41) = -0,42;$$

$$f_{31} = f_b(h_1^{max}) = f_b(4,02) = 0,50;$$

$$f_{41} = f_b(h_1) = f_b(-2,41) = -0,48;$$

$$f_{12} = f_a(h_2^{max}) = f_a(4,0) = 0,45;$$

$$f_{22} = f_a(h_2) = f_a(0,485) = 0,18;$$

$$f_{32} = f_b(h_2^{max}) = f_b(4,0) = 0,50;$$

$$f_{42} = f_b(h_2) = f_b(0,485) = 0,29.$$

6. Определяется значение коэффициентов β_j ; c_j по формулам (35), (36)

$$\beta_1 = 0,098(0,45+0,42)+0,736(0,50+0,48) = 0,085+0,725 = 0,840;$$

$$c_1 = 0,98;$$

$$\beta_2 = 1,12 \cdot 0,246(0,45-0,18) + 0,307(0,50-0,29) = 0,147;$$

$$c_2 = 1,12(0,50-0,29) = 0,235.$$

7. По формуле (31) определяется значение коэффициента a

$$a = \frac{0,15 \cdot 0,81 + 0,85 \cdot 0,147}{1,29 - 0,5} - 0,5 = \frac{0,213}{0,79} = 0,278.$$

8. По черт. 6, б при $m = 9$ определяется значение

$$\begin{aligned} \varphi_1 &= 0,61 \quad (\text{при } \langle \lambda_1 \rangle = 0,736; \quad \lambda_{61} = 0,098); \\ \varphi_2 &= 0,52 \quad (\text{при } \langle \lambda_2 \rangle = 0,307; \quad \lambda_{62} = 0,246). \end{aligned}$$

9. Определяется пороговое значение неограниченного предела выносливости вала при кручении согласно выражению (30)

$$\begin{aligned} \tau_{-1к}^* &= 8,15 \cdot 10^2 \frac{1}{\sqrt{0,270}} \sqrt{0,15 \cdot 0,61^9 + 1,12 \cdot 0,85 \cdot 0,52^9} = \\ &= 5,07 \cdot 10^2 \text{ кгс/см}^2. \end{aligned}$$

10. Определяется вероятность неразрушения вала при кручении по условию сохранения циклической прочности

$$\begin{aligned} p_{II}(t) &= \frac{C_3}{2} \left[\Phi \left(\frac{\tau_{-1к}^{max} - \langle \tau_{-1к} \rangle}{\sqrt{2} \tau_{6к}} \right) - \Phi \left(\frac{\tau_{-1к}^* - \langle \tau_{-1к} \rangle}{\sqrt{2} \tau_{6к}} \right) \right] = \\ &= \frac{1,0028}{2} \cdot \left[\Phi \left(\frac{11,57 \cdot 10^2 - 8,15 \cdot 10^2}{\sqrt{2} \cdot 1,14 \cdot 10^2} \right) - \Phi \left(\frac{5,04 \cdot 10^2 - 8,15 \cdot 10^2}{\sqrt{2} \cdot 1,14 \cdot 10^2} \right) \right] = \\ &= \frac{1,0028}{2} \left[\Phi(2,12) - \Phi(1,92) \right] = 0,9980. \end{aligned}$$

11. В случае совместного действия изгиба и кручения устанавливаются пороговые значения при изгибе $\sigma_{-1к}^*$ (см. пример 10) и кручении $\tau_{-1к}^*$.

Эквивалентное напряжение определяется согласно следующей зависимости

$$S_{-1к}^* = \sqrt{(\sigma_{-1к}^*)^2 + \left(\frac{\sigma_{-1к}}{\tau_{-1к}}\right)^2 (\tau_{-1к}^*)^2} \quad \text{кгс/см}^2.$$

Дальнейший расчет вероятности безотказной работы по условию сохранения циклической прочности осуществляется по формуле (25) при условии замены величины $\sigma_{-1к}^*$ на $S_{-1к}^*$.

Пример 10. Расчет циклической прочности оси барабана механизма подъема (пункт 3.6.).

Исходные данные аналогичны примеру 9. Помимо этого

$$\begin{aligned} \langle \sigma_{-1к} \rangle &= 1,3 \cdot 10^3 \text{ кгс/см}^2; \quad \sigma_{-1к}^* = 0,84 \cdot 10^3 \text{ кгс/см}^2; \quad C_3 \approx 1,0; \\ \langle p \rangle &= 0,99; \quad S_{пр}^* = 6,6 \cdot 10^5 \text{ кгс/см}; \quad \rho = 0,12. \end{aligned}$$

Решение:

1. По формуле (41) определяется значение функции Лапласа

$$\Phi(x) = \frac{2}{C_3} [p] - 0,9972 = 1,9800 - 0,9972 = 0,9828.$$

2. По таблице или графику на черт. 4 устанавливается, что этому значению $\Phi(x)$ соответствует величина

$$x = 1,68.$$

3. По формуле (40) определяется коэффициент запаса прочности

$$n_2 = \frac{1}{1 - \sqrt{2} x p} = \frac{1}{1 - \sqrt{2} \cdot 1,68 \cdot 0,12} = 1,4.$$

4. По формуле (39) производится проверка прочности оси

$$\frac{\langle \sigma_{-1K} \rangle}{n_2} = \frac{1,3 \cdot 10^3}{1,4} = 0,93 \cdot 10^3 \text{ кгс/см}^2 > \sigma_{-1K}^* = 0,84 \cdot 10^3 \text{ кгс/см}^2.$$

Пример 11. Определение диаметра расчетного сечения оси барабана по условию сохранения циклической прочности (пункт 3.7.).

На основании данных примеров 9 и 10 по формуле (42) определяется момент сопротивления оси барабана

$$F = \frac{S_{пр}^* n_2}{\langle \sigma_{-1} \rangle} = \frac{6,6 \cdot 10^5 \cdot 1,286}{1,3 \cdot 10^3} = 6,55 \cdot 10^2 \text{ см}^3,$$

откуда диаметр оси

$$d = \sqrt[3]{\frac{32F}{\pi}} = \sqrt[3]{\frac{32 \cdot 6,55 \cdot 10^2}{3,14}} = 18,9 \approx 19 \text{ см.}$$

Подп. к печ. 7/IV-78 г.

Печ. л. 2,25

Зак. инст. 22/78

Уч.-изд. л. 1,65

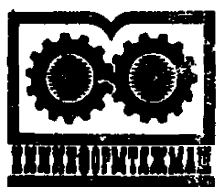
Зак. тип. 217

Формат 60x90¹/₁₆

Тираж 430 экз.

НИИинформтяжмаш, 129835, ГСП, Москва, И-90, Троицкая ул., 17

Отдел внедрения процессов микрофильмирования
и оперативной печати НИИинформтяжмаша



Заказ 22/78